

بهبود اهداف کوچک در تصاویر مادون قرمز با استفاده از آنتروپی وزن دار آماری

مهدى نصیرى^{۱*} ، سعید چهره‌سا^۲ ، سيد عبدالله ميرمهدوى^۳

۱- مربي، ۲- پژوهشگر، دانشگاه جامع امام حسین(ع)، ۳- کارشناس ارشد، دانشگاه صنعتی شاهرود
(دریافت: ۹۴/۱۰/۲۰، پذیرش: ۹۵/۰۲/۱۴)

چکیده

بهبود اهداف کوچک در تصاویر مادون قرمز یکی از مهمترین مسائل در سامانه‌های آشکارسازی و رده‌بندی اهداف می‌باشد. الگوریتم‌های بهبود اهداف، امکان تفکیک دقیق تر بین پیکسل‌های نواحی پس‌زمینه و اهداف را در تصاویر مادون قرمز فراهم می‌آورد. در این مقاله، روش جدید آنتروپی وزن دار آماری جهت تضعیف کلاترهای پس‌زمینه و افزایش کنتراست بین اهداف و کلاتر پس‌زمینه پیشنهاد شده است. از بهترین راه‌ها برای بیان مشخصات شدت روشناگی تصویر، استفاده از آنتروپی محلی است. در نتیجه، آنتروپی وزن دار آماری مطابق با این واقعیت طراحی شده است که پیکسل‌های شامل اهداف کوچک، باعث تغییرات عمده‌ای در مقدار آنتروپی وزن دار آماری در پنجره‌های محلی تصویر مادون قرمز می‌گردد و براحتی می‌توان پیکسل‌های هدف و پس‌زمینه را از هم تفکیک نمود. در مرحله اول، آنتروپی وزن دار آماری هر پنجره محلی متناظر با هر پیکسل از تصویر محاسبه می‌شود. در پایان این مرحله، شدت روشناگی کلاترهای پس‌زمینه تا حد زیادی تضعیف گردیده و پیکسل‌های هدف بهبود می‌یابند. در مرحله بعد، از یک ضربه بهبود خودکار به منظور بر جسته تر شدن اهداف و ایجاد کنتراست بیشتر بین ناحیه هدف و کلاترهای پس‌زمینه، استفاده می‌شود. به منظور ارزیابی کیفی و کمی، الگوریتم پیشنهادی بر روی مجموعه‌ای از تصاویر مادون قرمز شامل ۳۰ تصویر با پس‌زمینه‌های مختلف و پیچیده، مورد آزمایش قرار گرفت. نتایج نشان می‌دهد که روش پیشنهادی بخوبی می‌تواند با تضعیف کلاتر پس‌زمینه، باعث بهبود ناحیه هدف گردد و در نتیجه احتمال آشکارسازی و رده‌بندی اهداف را بیشتر نماید.

واژه‌های کلیدی: تصویر مادون قرمز، بهبود اهداف، تضعیف کلاتر، آنتروپی، سامانه آشکارسازی

سیگنال به نویز (SNR)، در این تصاویر می‌باشد [۲]. لذا با استفاده از سامانه خودکار بهبود کیفیت تصاویر مادون قرمز، اپراتور می‌تواند بازبینی دقیق و سریعتری را نسبت به اهداف داشته، و مواردی نظری عدم دقت و شناسایی کاذب اهداف در این تصاویر را کاهش دهد.

مسئله بهبود در تصاویر مادون قرمز را می‌توان بطور کلی به دو بخش تقسیم‌بندی نمود و آنرا مورد ارزیابی قرار داد. یک جنبه مربوط به بهبود از دیدگاه بصری و دیداری تصویر می‌باشد که عموماً به علت کنتراست پایین تصویر مادون قرمز، هدف آن بهبود عمومی کنتراست تصویر است تا اجسام در این تصاویر بخوبی قابل روئیت گردد و انسان از لحاظ بصری درک بهتری نسبت تصویر اولیه داشته باشد. این نوع از بهبود بیشتر در مواردی کاربرد دارد که از دوربین مادون قرمز با طول موج نزدیک به مادون قرمز (NIR^۱) استفاده می‌شود. از موارد کاربرد آن می‌توان در دوربین‌های مدار بسته، سلاح‌ها و ادوات جنگی دستی و مواردی که هدف آن بهبود کنتراست محیط پیرامون باشد، نام

۱- مقدمه

در حوزه علوم نظامی جهت شناسایی و آشکارسازی اهدافی که در دورترین فاصله از خود تشبعشات حرارتی (مادون قرمز) متصاعد می‌کنند، از سیستم‌های جستجو و شناسایی مادون قرمز (IRST) استفاده می‌شود. یکی از مسائل مهم در این نوع از سامانه‌ها، مسئله ارائه الگوریتم پردازش تصویر مناسب جهت بهبود اهداف نقطه‌ای می‌باشد. به دلیل فاصله بسیار زیاد اهداف از سیستم جستجوگر، سیگنال دریافت شده از هدف بسیار ضعیف بوده و تحت تأثیر اتمسفر و سایر عوامل قرار می‌گیرد. این مسئله باعث می‌شود که در تصویر مادون قرمز کنتراست هدف نسبت به پس‌زمینه کم، و ابعاد آن کوچک و در حد چند پیکسل باشد [۱]. طی چند دهه اخیر، در حوزه علوم نظامی روش‌های مختلفی برای بهبود آگاهی‌های موقعیتی مورد مطالعه قرار گرفته است. یکی از این روش‌ها، بهبود کیفیت تصاویر مادون قرمز است که در برگیرنده فرایندهایی همچون؛ بهبود کنتراست، و بهبود معیار

رویه توسط انحراف معیار تطبیقی جهت تخمین تصویر پس‌زمینه مکانی و زمانی و با تحلیل پنجره‌های اطراف فیلترهای مکانی و زمانی صورت می‌پذیرد. همچنین، در سال‌های اخیر جهت تضعیف پیکسل‌های پس‌زمینه شامل اهداف کوچک در تصاویر مادون‌قرمز، از توصیف‌گر آنتروپی محلی جهت بهبود ناحیه هدف استفاده شده است [۱۵]. در مرجع [۱۵] از روش اطلاعات آنتروپی محلی که به صورت وزن دار طراحی شده است جهت تضعیف کلاترهای پس‌زمینه و بهبود اهداف کوچک بهره گرفته شده است. مبنای استفاده از این روش، تغییر مقادیر آنتروپی در پیکسل‌های شامل هدف کوچک است. از معایب این روش، عدم تضعیف بهینه در در نواحی بین مرز کلاترها می‌باشد. همانند روش آنتروپی محلی، نویسنده‌گان در مرجع [۱۶] از روش نقشه خود-اطلاعات به منظور تضعیف پیکسل‌های پس‌زمینه با کلاترهای سنگین و بهبود هدف استفاده کردند. از معایب این روش، حجم محاسباتی سنگین و پیچیده است. در مرجع [۱۷] از فیلترهای^۴ DSODD به منظور بهبود ناحیه هدف و استفاده از نظریه چند مقیاس برای کاهش هشدار کاذب استفاده شده است. از فیلترهای DSODD برای تجزیه تصویر اصلی به زیر باندهایی در جهت‌های افقی، عمودی و قطری استفاده می‌شود. از معایب این روش، حساسیت بالای آن نسبت به نویز است که نسبت به مشتق مرتبه اول دارای عملکرد ضعیفتری می‌باشد. در مرجع [۱۸] جهت افزایش کنتراست بین هدف و تصویر پس‌زمینه از فیلتر^۵ LOG^۶ استفاده شده است و در مرحله بعد از روش‌های مورفولوژی در همه جهات برای از بین بردن دیگر کلاترها استفاده می‌شود. از آنجائی که اهداف در این تصاویر به جهت‌ها حساس نیستند، بنابراین از المان‌های ساختاری گوناگون در جهت‌های مختلف در این مقاله استفاده شده است. از ابرآدات این روش می‌توان به تنظیم پارامترهای گوناگون اشاره کرد. در مرجع [۱۹]، روشی جهت حذف کلاترهای تصویر پس‌زمینه ارائه شده است. با این فرض که کلاترهای پس‌زمینه تشکیل دهنده اطلاعات فرکانس پایین تصویر می‌باشند و مناطق هدف دارای اطلاعات فرکانس بالای تصویر هستند. با استفاده از فیلتر پایین‌گذر گوسی دامنه اطلاعات فرکانس پایین تصویر حذف شده و کلاترها تضعیف می‌گردد. از معایب این روش، می‌توان به ضعف در بهبود پیکسل‌های اهدافی که در بین کلاترهای سنگین قرار گرفته‌اند، اشاره نمود. در مرجع [۲۰] روشی برای آشکارسازی و بهبود اهداف کوچک در تصاویر مادون‌قرمز بر مبنای نظریه بصری نقشه بولی معرفی شده است. این روش از پدیده‌ای الهام گرفته شده است که در آن اهداف کوچک اغلب می‌توانند حساسیت چشم انسان را با توجه به دو مشخصه: روشناکی و شکل شبکه-گوسی در ناحیه بافت محلی، بیشتر کنند. در مرجع [۲۱]،

برد. جنبه دیگر مربوط به بهبود اهداف در تصاویر مادون‌قرمز است که هدف آن تضعیف پیکسل‌های پس‌زمینه و محیط پیرامون و بهبود روشنایی پیکسل‌های ناحیه هدف می‌باشد، به نحوی که هدف برجسته‌تر از سایر نواحی نشان داده شود. استفاده از این نوع الگوریتم‌های بهبود، بیشتر در سامانه‌های آشکارسازی و ردیابی اهدافی که از دوربین‌های مادون‌قرمز با طول موج میانی (MWIR) و بلند (LWIR)^۷ استفاده می‌کنند، کاربرد دارد. در این مقاله نیز مقصود اصلی بهبود اهداف در تصویر مادون‌قرمز، تضعیف کلاتر پس‌زمینه و در نتیجه افزایش کنتراست بین اهداف و کلاتر پس‌زمینه می‌باشد که آن را برای مراحل بعدی سامانه آشکارسازی و ردیابی مناسب می‌گرداند. ذکر این نکته ضروری است که عموماً روش‌های مربوط به جنبه اول بهبود تصویر مادون‌قرمز [۳-۷] منجر به بهبود اهداف کوچک و تضعیف کلاتر پس‌زمینه در تصویر مادون‌قرمز نمی‌شوند. چرا که بسیاری از این روش‌ها و الگوریتم‌ها در شرایط و کاربردهای مختلف از جمله وجود بازتاب آسمان، تلأؤ خورشید، کلاترهای سنگین^۸ و کوچک بودن اهداف، رفتار بهینه‌ای نداشته و در برخی از مواقع موجب از دست رفتن برخی اطلاعات تصویری و در نتیجه عدم امکان آشکارسازی صحیح اهداف موجود در صحنه می‌شوند [۸]. از این‌رو، در این مقاله تمرکز بر روی جنبه دوم از روش‌های بهبود تصویر مادون‌قرمز است که منجر به برجسته‌تر شدن اهداف و تضعیف کلاترهای پس‌زمینه می‌شود که نتیجه آن افزایش کنتراست بین اهداف کوچک و کلاتر پس‌زمینه می‌باشد.

تاکنون الگوریتم‌های گوناگونی به منظور بهبود ناحیه هدف و تضعیف پس‌زمینه در تصاویر مادون‌قرمز در مقالات ارائه شده است که در ادامه به معرفی آنها پرداخته می‌شود. روش‌های مبتنی بر فیلتر [۹-۱۰]، بخش عمده‌ای از الگوریتم‌های بهبود اهداف در تصاویر مادون‌قرمز را تشکیل می‌دهند. با این حال، این فیلترها حساس به پارامترهای مختلفی هستند که ممکن است باعث پیچیدگی این الگوریتم‌ها گردد. روش‌های مبتنی بر هسته تحت تأثیر قرار بگیرد. در مرجع [۱۲] از فیلتر دوطرفه مکانی و زمانی برای بهبود تصاویر مادون‌قرمز شامل اهداف کوچک استفاده شده است. در این روش، اطلاعات مکانی تصویر توسط فیلتر دوطرفه مکانی، و اطلاعات زمانی تصویر توسط فیلتر دوطرفه زمانی استخراج می‌گردد. مبنای این روش تخمین تصویر پس‌زمینه و سپس حذف آن توسط یک مقدار آستانه است. این

1-Mead-Wave InfraRed

2-Long-Wave InfraRed

3-Heavy Clutter

می باشد [۲۵]. آنتروپی محلی بیانگر تناب و تغییرات و تحلیل آماری مقادیر سطح روشانایی پیکسل های محلی یک تصویر است، ولی بهخوبی قادر به مشخص نمودن میزان درجه این تغییرات نمی باشد. از اینرو، در روش پیشنهادی این مقاله از روش نویزی به نام آنتروپی وزن دار آماری جهت بر جسته تر نمودن پیکسل های هدف و تضعیف پیکسل های پس زمینه که شامل کلاترهای سنگین و نویز می باشد، استفاده شده است. در حقیقت الگوریتم آنتروپی وزن دار آماری مطابق با این واقعیت طراحی شده است که پیکسل های شامل اهداف کوچک، باعث تغییرات عمده ای در مقدار آنتروپی وزن دار آماری در پنجره های محلی تصویر مادون قرمز می گردد. این موضوع می تواند به تفکیک ناحیه هدف از پس زمینه کمک زیادی کند. بطور خلاصه، روال انجام فرایند الگوریتم پیشنهادی به این صورت است که؛ در فاز اول، آنتروپی وزن دار آماری هر پنجره محلی متضایر با هر پیکسل از تصویر محاسبه می شود. در پایان این فاز، کلاترهای پس زمینه تا حد زیادی تضعیف می شوند و پیکسل های شامل اهداف کوچک بهبود می یابند. در فاز بعدی، از یک ضرب بیشتر خود کار به منظور بر جسته تر شدن اهداف و ایجاد کنتراست بیشتر بین ناحیه هدف و کلاترهای پس زمینه، استفاده می شود.

ساختار مقاله در ادامه به این شرح است که: در بخش ۲، نظریه و روش های موجود در مقاله مورد بررسی قرار می گیرد. روش پیشنهادی مقاله و الگوریتم آنتروپی وزن دار آماری در بخش ۳، معرفی می شود. در بخش ۴، نتایج آزمایشات و ارزیابی های کیفی و کمی صورت گرفته بر روی مجموعه ای از داده های تصاویر مادون قرمز، ارائه می گردد. در نهایت، در بخش ۵ به جمع بندی و نتیجه گیری خواهیم پرداخت.

۲- نظریه و روش ها

همان طور که عنوان شد، هدف اصلی روش های بهبود تصاویر مادون قرمز در سامانه های جستجو و ردیابی مادون قرمز (IRST)، افزایش کیفیت و بهبود ناحیه هدف، و در مقابل تضعیف کلاترهای سنگین و از بین بردن نویزها می باشد. از این رو، جهت تفکیک و تمایز بین این نواحی در مراجع مختلف [۲۶-۲۷] یک تصویر مادون قرمز به طور کلی به صورت رابطه زیر مدل سازی می شود:

$$f(x,y) = f_t(x,y) + f_b(x,y) + n(x,y) \quad (1)$$

مطابق این رابطه، (x,y) نشان دهنده مختصات مکانی تصویر، f بیانگر تصویر مادون قرمز مشکل از اهداف کوچک، f_t بیانگر شدت روشانایی ناحیه هدف، f_b بیانگر ناحیه پس زمینه و n بیانگر نویز موجود در یک تصویر مادون قرمز می باشد. در عمل، به دلیل وجود

بمنظور عملکرد بهتر بهبود تصویر مادون قرمز و ایجاد تصویری با جزئیات واضح تر، الگوریتمی بر مبنای عملکرد تغییر وضعیت ترتیبی چند مقیاس پیشنهاد شده است. ابتدا، عملکرد تغییر وضعیت ترتیبی که از عملکردهای مورفو لوزی باز کردن و بستن به عنوان عملکردهای اولیه استفاده می کند، ایجاد می شود. در ادامه، از طریق عملکرد تغییر وضعیت ترتیبی، فرایند استخراج ویژگی صورت می پذیرد و بسط چند مقیاس آن بطور دقیق محاسبه می شود. در نهایت، به منظور ایجاد تصویر بهبود یافته، ویژگی های استخراج شده نهایی یا یکدیگر ترکیب شده و تصویر بهبود یافته نهایی را تشکیل می دهد. از معایب این روش، بهبود بصری تصویر مادون قرمز است که بهخوبی منجر به بهبود هدف و تضعیف کلاتر در تصویر مادون قرمز نمی گردد و بیشتر بر بهبود بصری تصویر تکیه دارد. در مرجع [۲۲]، روشی جدید با استفاده از طیف فاز تبدیل فوریه چهارگانه برای بهبود اهداف کوچک در حالی که پس زمینه در تصاویر مادون قرمز تضعیف می شود، پیشنهاد شده است. این روش از شکل منظم گوسی اهداف کوچک که می تواند به عنوان یک سیگنال برجسته در تصاویر مادون قرمز در نظر گرفته شود، الهام گرفته شده است. در این مقاله از فیلتر مشتق جهت دار مرتبه دوم با مدل وجه^۱ استفاده شده است. این فیلتر برای تضعیف نویزها و آشکارسازی اهداف و پس زمینه در بافت های جداگانه مورد استفاده قرار می گیرد. مرجع [۲۳]، روشی جدیدی از آشکارسازی اهداف کوچک را معرفی می کند که مسئله را به عنوان آشکارسازی نقطه گوسی مانند فرموله می کند. نخست، مشتق جهت دار مرتبه اول اصلاحی بر پایه مدل وجه برای دست یابی به تصاویر مادون قرمز مشتق چند جهتی اعمال می شود. در ادامه، روش تحلیل مؤلفه اصلی (PCA) برای بر جسته سازی بیشتر اهداف در تصویر ادغام اعمال می شود، در اینصورت اهداف می توانند توسعه عملیات قطعه بندی آستانه ساده استخراج گرددند. در مرجع [۲۴]، فیلتر مجذور میانگین حداقل دو بعدی جهتی لبه، برای آشکارسازی هدف کوچک در تصاویر مادون قرمز پیشنهاد شده است. در این مقاله، فیلتر^۲ LMS دو بعدی پیشنهادی، ناحیه کلاتر پس زمینه را پیش بینی می نماید. سپس، با تفربیق پس زمینه پیش بینی شده از تصویر مادون قرمز اصلی، اهداف کوچک می توانند استخراج گرددند.

استفاده از مشخصات مقادیر سطح روشانایی و ویژگی های آماری مناطق تصویر می تواند یکی از بهترین گزینه ها به منظور تضعیف ناحیه پس زمینه و بهبود ناحیه هدف باشد. یکی از توصیف گرها پر کاربردی که در طی چند سال اخیر برای بیان مشخصات شدت روشانایی تصویر، و در نتیجه بهبود اهداف در تصاویر مادون قرمز مورد استفاده قرار گرفته است آنتروپی محلی

¹ Facet Model

² Principal Component Analysis

³ Least Mean Squares

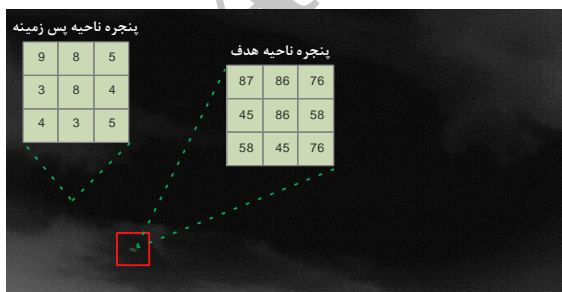
نمود [۲۸]:

$$E(\Omega_k) = -\sum_{k=0}^{255} P_k \log_2 P_k, \quad P_k = \frac{n_{i,j}}{M_k \times N_k} \quad (2)$$

با توجه به این رابطه، $E(\Omega_k)$ همان مقدار آنتروپی محلی در همسایگی Ω_k خواهد بود. P_i احتمال وقوع رخداد سطح روشنایی i ، و $n_{i,j}$ تعداد رخدادهای مقدار سطح روشنایی i در تصویر است.

آنتروپی بیانگر تنابع تغییرات سطح روشنایی در پیکسل‌های تصویر است، ولی به خوبی قادر به مشخص نمودن میزان میزان درجه این تغییرات نمی‌باشد. به عنوان مثال، شکل (۱) نشان‌دهنده مقادیر سطح روشنایی دو ناحیه هدف و پس‌زمینه از تصویر مادون قرمز است. با توجه به این شکل، می‌توان مشاهده نمود که تنابع تغییرات مقادیر سطح روشنایی در هر دو پنجره یکسان است، ولی میزان درجه این تغییرات در پنجره مربوط به ناحیه هدف بیشتر از پنجره ناحیه پس‌زمینه می‌باشد. همچنین به دلیل بیشتر بودن میزان درجه تغییرات سطح روشنایی در ناحیه هدف، میزان ادراک بصیر انسان نیز در این ناحیه بیشتر بوده و بهتر می‌تواند آن را از نواحی اطراف تمیز دهد. با این حال، مطابق با رابطه (۲)، مقادیر آنتروپی این دو پنجره یکسان بوده و برابر $2/28$ می‌باشد. در نتیجه، می‌توان عنوان نمود که آنتروپی بخوبی نمی‌تواند تفکیک کننده پیکسل‌های پس‌زمینه و هدف باشد و همان‌طور که عنوان شد قادر نیست میزان درجه تغییرات مقادیر سطح روشنایی نواحی مختلف تصویر را به خوبی مشخص نماید.

از آنجائی که مقصود از این مقاله تضعیف ناحیه پس‌زمینه و بهبود ناحیه هدف است، بنابراین می‌بایست از الگوریتم و توصیفگری استفاده نمود که بتواند به خوبی، به طور هم‌زمان تنابع تغییرات سطح روشنایی و میزان درجه تغییرات آن را نشان داده و تفکیک کننده پیکسل‌های پس‌زمینه و هدف باشد.



شکل (۱). مقایسه مقادیر آنتروپی پیکسل‌های محلی دو ناحیه هدف و پس‌زمینه.

۲-۲- استخراج پنجره‌های محلی

در مرجع [۲۹] نشان داده شده است که بسیاری از

کلاترهای سنگین و وجود اهداف کوچک در بین این کلاترهای تخمین زدن پس‌زمینه و نویز کار بسیار دشواری می‌باشد. همچنین به دلیل ابعاد کوچک ناحیه هدف و شدت روشنایی ضعیف آن در کلاترهای سنگین و چالش‌هایی که در ادامه به آن اشاره خواهد شد، آشکارسازی اهداف کوچک به‌طور مستقیم امکان‌پذیر نیست. از جمله مهمترین چالش‌ها و بیزگی‌های ناحیه هدف و پس‌زمینه در تصاویر مادون قرمز شامل اهداف کوچک، می‌توان به موارد زیر اشاره نمود:

- کنتراست پایین^۱ بین ناحیه هدف و کلاتر پس‌زمینه. به نحوی که مشاهده ناحیه هدف را با مشکل زیادی روبرو می‌کند.
 - وجود نواحی پس‌زمینه دارای پیچیدگی‌های سنگین^۲ (کلاتر) در تصویر که بخش اعظمی از تصویر مادون قرمز را شامل می‌شوند.
 - کوچک بودن ناحیه هدف. یعنی تعداد پیکسل‌های ناحیه هدف بسیار کمتر از پیکسل‌های ناحیه پس‌زمینه می‌باشد.
 - فقدان اطلاعات بافت^۳، ساختار و اندازه مشخص اهداف.
 - پایین بودن معیار سیگنال به نویز تصویر^۴ (SNR).
- بنابراین، یک روش مناسب برای بهبود تصاویر مادون قرمز متکل از اهداف کوچک، تضعیف ناحیه پس‌زمینه و نویزهای موجود در تصویر می‌باشد. بعد از فرایند تضعیف پس‌زمینه، ناحیه هدف و پس‌زمینه به ترتیب دارای مقادیر بیشتر و کمتر سطح روشنایی خواهند بود. به منظور تضعیف ناحیه پس‌زمینه، در حالی که همزمان بتوان ناحیه هدف را بهبود بخشد، استفاده از مشخصات مقادیر سطح روشنایی می‌تواند یکی از بهترین گزینه‌ها باشد. از بهترین و مؤثرترین راه‌ها برای بیان مشخصات شدت روشنایی تصویر، استفاده از آنتروپی محلی است. در حقیقت می‌بایست از روشنی استفاده نمود که در عین حالی که سیگنال هدف را قوی‌تر می‌کند، باعث تضعیف سیگنال ناحیه پس‌زمینه گردد. آنتروپی محلی شامل تحلیل آماری مقادیر سطح روشنایی پیکسل‌های محلی یک تصویر می‌باشد که بیانگر تنابع تغییرات محلی سطح روشنایی در تصاویر است. با این وجود، به خوبی قادر به مشخص نمودن میزان درجه این تغییرات نمی‌باشد. در ادامه به معرفی آنتروپی محلی پرداخته می‌شود.

۲-۱- آنتروپی محلی

اگر در یک تصویر، یک همسایگی کوچک () با پنجره‌ای با ابعاد $M_k \times N_k$ و مقادیر سطح خاکستری $i (0 \leq i \leq 255)$ ، در نظر گرفته شود، آن‌گاه می‌توان آنتروپی محلی را به صورت زیر تعریف

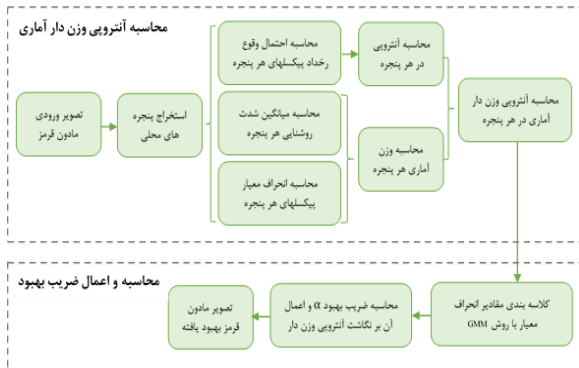
1- Low contrast

2- Heavy clutter

3- Texture information

4- Signal-to-noise ratio

آماری هر پنجره از تصویر اصلی، و محاسبه و اعمال ضریب بهبود آ است که در ادامه، هر کدام از این مراحل به طور جداگانه توضیح داده خواهد شد.



شکل (۳). روند نمای روشن پیشنهادی.

۱-۳- محاسبه آنتروپی وزن دار آماری

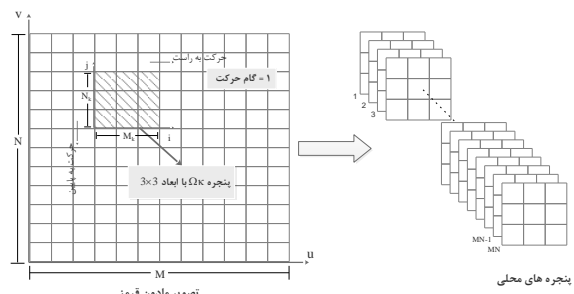
جهت رفع نقاطی موجود در نتایج حاصل از فرمول آنتروپی، می‌توان از توصیفگرهای آماری دیگری همچون میانگین^۲ و انحراف معیار^۳ در فرمول آنتروپی به عنوان وزن آن استفاده نمود و عملیات بهبود را در شرایط مختلفی همچون کنتراست پایین، کلاتر سنگین، پایین بودن SNR و قدرت تفکیک مکانی کم، بخوبی عملیاتی کرد. در حقیقت روش آنتروپی وزن دار آماری می‌تواند به عنوان یک فیلتر مکانی غیرخطی^۴ به شمار آید. به این صورت که، در نواحی مشکل از اهداف کوچک، تغییرات ناگهانی مقادیر سطح خاکستری در پنجره‌های محلی باعث ایجاد تغییرات ناگهانی در مقدار آنتروپی وزن دار آماری گردیده و می‌تواند با توجه به سایر مشخصات آماری آن پنجره از جمله؛ میانگین شدت و انحراف معیار، منعکس کننده ناحیه هدف باشد و آن را بهبود بخشد.

طرایی الگوریتم پیشنهادی این مقاله پس از انجام آزمایشات و ارزیابی‌های گوناگون بر روی تعداد زیادی از تصاویر مادون قرمز شامل اهداف کوچک و پس زمینه از مختلف و مشاهده مشخصات آماری آنها صورت پذیرفت. به عنوان نمونه و به منظور توجیه و تفسیر دلایل استفاده از الگوریتم پیشنهادی، مشخصات آماری نقاط مختلف یک تصویر مادون قرمز در شکل (۴) آورده شده است. لازم به ذکر است که نتایج حاصله از تفسیر این مقادیر آماری، قابلیت تعمیم به سایر تصاویر مادون قرمز را نیز دارد و در مورد سایر تصاویر مادون قرمز مشکل از اهداف کوچک

سیگنال‌های واقعی را می‌توان با مطالعه همسایگی‌های محلی^۱ آن سیگنال مورد تحلیل و بررسی قرار داد. در نتیجه تصاویر مادون قرمز را می‌توان با تحلیل و بررسی توزیع ویژگی‌های محلی آن، از یکدیگر تمیز داد. در این مقاله، از این امر به عنوان یک پایه اساسی استفاده شده است. به دلیل وجود اطلاعات هدف در ناحیه کوچکی از تصویر و این که قسمت اعظمی از تصویر مادون قرمز را پس زمینه تشکیل می‌دهد، جهت بهبود ناحیه هدف بهتر است که از پنجره‌های محلی جهت این امر استفاده گردد. همچنین استفاده از پنجره‌های محلی سبب دقت بیشتر و بهتر الگوریتم طرح می‌شود و از دست رفتن اطلاعات پیکسل‌های هدف در تصاویر مادون قرمز جلوگیری می‌کند. به همین منظور، در روش پیشنهادی از پنجره‌های محلی متناظر با هر پیکسل از تصویر و نگاشت مقادیر جدید آنتروپی وزن دار آماری به جای آن پیکسل‌ها، استفاده شده است. با این وصف، با تعریف یک پنجره محلی مناسب به ابعاد 1×1 (در این روش 3×3) و محاسبه مقدار آنتروپی وزن دار آماری درون این پنجره، و سپس حرکت پنجره محلی به صورت پیکسل به پیکسل در راستای افقی و عمودی، می‌توان مقدار آنتروپی وزن دار آماری هر پیکسل در تصویر مادون قرمز را محاسبه نمود. یا به عبارت دیگر به نقشه آنتروپی وزن دار آماری دست یافت که نشان‌دهنده تصویر بهبود یافته می‌باشد. روال کار این مرحله در شکل (۲) نشان داده شده است.

۳- روش پیشنهادی

اکثر روش‌های بهبود اهداف در تصاویر مادون قرمز با هدف بر جسته‌سازی ناحیه هدف و تضعیف ناحیه پس زمینه می‌باشد. با توجه به این، در این مقاله روش نوینی جهت بهبود پیکسل‌های هدف و تضعیف کلاتر نواحی پس زمینه در تصاویر مادون قرمز ارائه می‌شود. روند نمای الگوریتم پیشنهادی در شکل (۳) آورده شده است.



شکل (۲). چگونگی استخراج پنجره‌های محلی با ابعاد 3×3 .

همان‌طور که در شکل (۳) مشاهده می‌شود، عملکرد الگوریتم پیشنهادی شامل دو فاز اصلی محاسبه آنتروپی وزن دار

1 - Local neighbourhood

2 - Mean

3 - Standard Deviation

4 - Nonlinear Spatial Filtering

به صورت محلی و در نتیجه آن بهبود تصویر مادون قرمز به صورت رابطه (۳) می‌باشد که نشان‌دهنده مقدار آنتروپی وزن دار آماری در هر پنجره به ابعاد $M_k \times N_k$ می‌باشد.

$$SWE_{i,j} = -\sum_{j=1}^{N_k} \sum_{i=1}^{M_k} W_{i,j} \cdot P_{i,j}(u, v) \cdot \log_2 P_{i,j}(u, v) \quad (3)$$

$$P_{i,j}(u, v) = \frac{n_{i,j}}{M_k \times N_k} \quad (4)$$

در این رابطه، (i, j) بیانگر مقدار شدت روشنایی پیکسل‌های هر پنجره محلی، $n(i, j)$ تعداد رخدادهای مقدار سطح روشنایی پیکسل (i, j) احتمال وقوع رخداد سطح روشنایی پیکسل (i, j) بیان‌گر وزن آماری و α بیانگر ضریب بهبود^۱ می‌باشد. با تعریف یک پنجره محلی مناسب با ابعاد $M_k \times N_k$ و محاسبه مقدار آنتروپی وزن دار آماری درون این پنجره، و سپس حرکت پنجره محلی به صورت پیکسل به پیکسل در راستای افقی و عمودی، می‌توان مقدار آنتروپی وزن دار آماری هر پیکسل در تصویر مادون قرمز را محاسبه نموده و سپس نقشه آنتروپی وزن دار آماری متناظر با هر پیکسل را تشکیل داد که نشان‌دهنده تصویر بهبود یافته می‌باشد.

با توجه به رابطه (۳)، به منظور تضعیف شدت روشنایی پیکسل‌های ناحیه پس‌زمینه و افزایش شدت روشنایی پیکسل‌های ناحیه هدف، مقدار آنتروپی وزن دار آماری (*LSWE*) می‌بایست در نواحی هدف و پس‌زمینه به ترتیب دارای مقدار زیاد و کم باشد. از این‌رو، وزن آنتروپی^(۷) باید طوری تعیین شود که بتواند بین نواحی هدف و پس‌زمینه تفاوت زیادی قائل شود. پس از محاسبه و اعمال وزن آنتروپی^(۷)، با جایگزینی مقادیر آنتروپی وزن دار آماری پنجره‌های کل تصویر با پیکسل‌های متناظر، اختلاف مقادیر سطح روشنایی نواحی مربوط به هدف و پس‌زمینه به خوبی قابل درک برای دید بصری انسان می‌شود و سامانه‌های خودکار ریدیابی بخوبی می‌توانند توانایی آشکارسازی و تمایز بین این دو ناحیه را داشته باشند. با توجه به مشخصات آماری نواحی مختلف تصویر مادون قرمز و علی‌الخصوص ویژگی‌های پنجره‌های شامل نقاط هدف، از جمله میزان بالا بودن درجه تناوب مقادیر سطح روشنایی، و بیشتر بودن میانگین و انحراف معیار شدت روشنایی نسبت به سایر نواحی، می‌بایست وزن رابطه (۳) را به نحوی طراحی نمود که توصیفگر مناسبی برای برجسته‌تر نمودن ناحیه هدف باشد. همچنین، در پنجره‌هایی که اختلاف سطح روشنایی پیکسل‌های آن از مجموع میانگین و انحراف معیار پیکسل‌های همان پنجره $(\mu_l + \delta_l)$ زیاد باشد، تأثیر زیادی بر روی نتیجه آنتروپی خواهد داشت، که در نتیجه کاندیدای مناسبی برای ناحیه هدف خواهد بود. تفکیک پیکسل‌های ناحیه

صادق است. با توجه به تجزیه و تحلیل نواحی مختلف در تصویر مادون قرمز، اعم از ناحیه هدف، ناحیه پس‌زمینه با کلاتر زیاد، ناحیه پس‌زمینه با کلاتر کم و ناحیه پس‌زمینه بین لبه کلاترهای می‌توان به نتایج زیر دست یافت:

۱. میزان تناوب مقادیر سطح روشنایی و میانگین شدت روشنایی پیکسل‌های ناحیه هدف در تصویر مادون قرمز نسبت به سایر نواحی از درجه و مقدار بیشتری برخوردار می‌باشد و مقادیر سطح خاکستری در پیکسل‌های هدف به صورت ناگهانی تغییر می‌کنند.

۲. پایین بودن درجه تناوب مقادیر سطح روشنایی (اختلاف مقادیر سطح روشنایی، که توصیفگر انحراف معیار به همراه آنتروپی به خوبی می‌توانند بیان کننده این موضوع باشند) به همراه کم بودن میانگین شدت روشنایی پنجره‌های محلی تصویر مادون قرمز، می‌تواند کاندید ناحیه پس‌زمینه با کلاتر کم باشد.

۳. پایین بودن درجه تناوب مقادیر سطح روشنایی به همراه زیاد بودن میانگین شدت روشنایی پنجره‌های محلی تصویر مادون قرمز، می‌تواند کاندید ناحیه پس‌زمینه با کلاتر زیاد باشد. در این صورت امکان مخفی شدن هدف در ناحیه پس‌زمینه وجود دارد که عمل بهبود و تشخیص هدف را با مشکل روبرو می‌سازد.

۴. مشخصات آماری ناحیه لبه کلاترهای پس‌زمینه، تا حدودی شبیه به ناحیه هدف می‌باشد (درجه تناوب مقادیر سطح روشنایی متوسط و میانگین شدت روشنایی تقریباً بالا). از این رو می‌بایست فرمول روش پیشنهادی را به نحوی طراحی نمود که بتوان این دو ناحیه را تا حد زیادی از هم تفکیک داد.

۵. ناحیه پس‌زمینه تصویر مادون قرمز دارای تغییرات آرام و همگنی نسبت به ناحیه هدف است.



شکل (۴). مقایسه آماری نواحی مختلف تصویر مادون قرمز.

بدین منظور، فرمول پیشنهادی برای تضعیف ناحیه پس‌زمینه

بهمنظور بهبود ناحیه هدف و تضعیف روشنایی نواحی دارای نویز و نواحی پس زمینه ای که بین لبه کلاترها قرار گرفته اند، از ضریب بهبود خودکاری به نام α استفاده می گردد تا مقادیر سطح روشنایی پیکسل های پس زمینه تضعیف شده و یا حتی نادیده گرفته شوند. این ضریب تأثیر چندانی بر ناحیه هدف نخواهد داشت، دلیل این امر هم بالا بودن مقدار آنتروپی وزن دار آماری در پیکسل های ناحیه هدف مطابق رابطه (۳) می باشد که با تأثیر این ضریب اختلاف سطح روشنایی آن با پیکسل های ناحیه پس زمینه بیشتر شده و از دیدگاه بصری برجسته تر از سایر نواحی بهنظر می رسد.

از دیدگاه هندسی، در فضای N بعدی ویژگی ها مقادیر انحراف معیار پیکسل های ناحیه هدف و نواحی پس زمینه در تصاویر مادون قرمز خوش هایی متتمرکز را تشکیل می دهند که مرکز این خوش ها از هم فاصله دارند. بنابراین می توان از روش GMM که یک روش خوش بندی بدون نظرات^۲ بر اساس فرض توزیع گوسی داده های ورودی می باشد [۳۰]، برای خوش بندی داده های انحراف معیار دو ناحیه هدف و پس زمینه استفاده نمود. در این صورت با تعیین تعداد ۲ مخلوط گوسی (هدف و پس زمینه) و انحراف معیار پنجره های محلی تصویر مادون قرمز به عنوان داده های ورودی، می توان پارامترهای مدل گوسی (میانگین، ماتریس کوواریانس) را به دست آورد و انحراف معیار پنجره های محلی را به ۲ دسته هدف و پس زمینه خوش بندی نمود. خوش های محلی آن دارای مقدار بیشتری است بیانگر دسته مربوط به انحراف معیار پیکسل های ناحیه هدف، و خوش های که میانگین آن دارای مقدار کمتری می باشد بیانگر دسته مربوط به انحراف معیار نواحی پس زمینه است. از این رو ضریب بهبود α را می توان توسط الگوریتم زیر محاسبه نمود:

مرحله اول: تشکیل بردار انحراف معیار پنجره های محلی تصویر مادون قرمز به فرم $\{\sigma_1; \sigma_2; \dots; \sigma_k\} = X$ ، به عنوان داده های ورودی مدل GMM

مرحله دوم: تخمین تابع چگالی مدل مخلوط گوسی از مجموع وزن دار K توزیع گوسی (در این طرح $k=2$) مطابق رابطه زیر، توسط الگوریتم EM^۳.

$$P(\vec{x}_t | \psi) = \sum_{i=1}^K g(\vec{x}_t | s\mu_i, \Sigma_i) \alpha_i \quad (9)$$

ψ بیانگر پارامترهای مدل مخلوط گوسی، \vec{x} بردار ویژگی

1 - Gaussian Mixture Model

2 - Unsupervised Clustering

3 - Expectation Maximization

هدف و نواحی پس زمینه بین لبه کلاترها، یکی از مهمترین چالش های موجود در بهبود تصاویر مادون قرمز می باشد. زیرا همانطور که در شکل (۴) مشخص است مشخصات آماری این دو ناحیه تا حدود زیادی شبیه به هم می باشد، و این امر لزوم طراحی روشی جهت بهبود ناحیه هدف و تفکیک آن از ناحیه ذکر شده را بیش از پیش ضروری می سازد. با توجه به اینکه تفاوت مشخصات آماری این دو ناحیه، بیشتر بر روی مقادیر انحراف معیار و میزان درجه تناوب مقادیر سطح روشنایی پیکسل هایشان وجود دارد، از اینرو می بایست این تفاوت بطور قابل ملاحظه ای در فرمول وزن آنتروپی مورد توجه واقع شود و طراحی آن بنحوی صورت گیرد که مقدار وزن آنتروپی در ناحیه هدف بیشتر از ناحیه مذکور گردد. در نتیجه، رابطه (۵) به عنوان وزن آنتروپی جهت تفکیک دقیق تر ناحیه هدف نسبت به سایر نواحی طراحی شده است.

$$W_{i,j} = (x(i,j) - (\mu_i + \delta_i)^2) \quad (5)$$

مطابق با رابطه بالا، μ_i و δ_i به ترتیب بیانگر میانگین و انحراف معیار پیکسل های موجود در یک پنجره محلی می باشند که مطابق رابطه زیر محاسبه می شوند:

$$\mu_i = \frac{1}{M_K \times N_K} \sum_{j=1}^{N_K} \sum_{i=1}^{M_K} x(i,j) \quad (6)$$

$$\delta_i = \frac{1}{M_K \times N_K} \sum_{j=1}^{N_K} \sum_{i=1}^{M_K} (x(i,j) - \mu_i)^2 \quad (7)$$

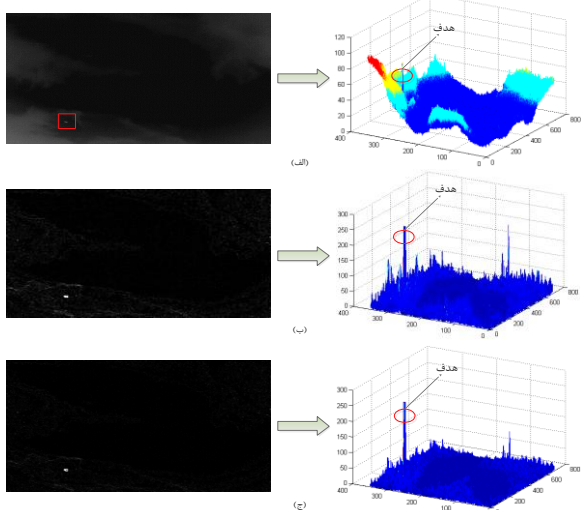
مطابق با فرمول پیشنهادی، هنگامی که پنجره های محلی به صورت پیکسل به پیکسل در تصویر و از چپ به راست و بالا به پایین حرکت داده می شوند، مطابق رابطه (۳) آنتروپی وزن دار آماری متناظر با هر پیکسل محاسبه می شود. در این صورت می توان نگاشتی از مقادیر آنتروپی وزن دار آماری محلی (LSWE) را به صورت رابطه زیر تشکیل داد و به تصویر بهبود یافته اولیه که در آن قسمت اعظمی از پیکسل های پس زمینه تضعیف شده اند، دست یافت.

$$LM = \begin{bmatrix} LSWE(1,1) & LSWE(1,2) & \dots & LSWE(1,M) \\ LSWE(2,1) & LSWE(2,2) & \dots & LSWE(2,M) \\ \dots & \dots & \dots & \vdots \\ LSWE(N,1) & LSWE(N,2) & \dots & LSWE(N,M) \end{bmatrix} \quad (8)$$

۲-۳- محاسبه ضریب بهبود

پس از تضعیف پیکسل های پس زمینه در مرحله اول، فقط اهداف، نویزها و برخی از پیکسل های لبه کلاترها پس زمینه، دارای مقدار سطح روشنایی بالایی می باشند و سایر نواحی دارای مقدار سطح روشنایی کم و محدودی هستند. در این صورت

شکل (۵-ج) تصویر نهایی بهبود یافته و تأثیر ضربی بهبود α را نسبت به شکل (۵-ب) نشان می‌دهد. همان‌طور که از تصویر بهبود یافته و نمای سه‌بعدی آن مشخص است، در شکل (۵-ج) مقدار سطح روشنایی و انرژی برخی از نواحی پس‌زمینه بعد از اعمال ضربی بهبود α نسبت به مرحله قبل تا حدود زیادی کاهش یافته و این امر بیانگر تضعیف بهتر ناحیه پس‌زمینه و بر جسته‌تر شدن ناحیه هدف می‌باشد.



شکل (۵). تأثیر ضربی بهبود α بر روی بهبود تصویر مادون قرمز.
الف) تصویر مادون قرمز اصلی و نمای سه‌بعدی آن. ب) تصویر بهبود یافته پس از اعمال وزن دار آماری و نمای سه‌بعدی آن. ج) تصویر بهبود α ، و نمای سه بعدی آن.

۴- ارزیابی و نتایج آزمایشات

به طور کلی از آنجائی که مقصد از بهبود تصاویر مادون قرمز شامل اهداف کوچک، تضعیف کلاترهای پس‌زمینه و بهبود ناحیه هدف می‌باشد، لذا روش پیشنهادی می‌بایست برای دست‌یابی به نتیجه مطلوب در آشکارسازی اهداف کوچک، در برابر تصاویر با کلاترهای سنگین مختلف مقاوم بوده و توانایی بهبود اهداف در انواع تصاویر مادون قرمز را داشته باشد. از این‌رو، بهمنظور تشریح عملکرد الگوریتم بهبود روش پیشنهادی، آزمایشات بر روی مجموعه‌ای از تصاویر مادون قرمز واقعی شامل اهداف کوچک و پس‌زمینه با کلاترهای آسمان، هوا و دریا، صورت پذیرفته است که دربرگیرنده پس‌زمینه‌هایی با کلاترهای سنگین و تداخل‌های نامنظم و همچنین اهداف کوچک در حد چند پیکسل می‌باشند. این تصاویر در شکل‌های (۶-الف)، (۷-الف) و (۸-الف) نشان داده شده است که به ترتیب شامل نمونه‌هایی از تصاویر مادون قرمز با پس‌زمینه‌های آسمان (شکل ۶-الف)، زمین (شکل ۷-الف) و دریا (شکل ۸-الف) می‌باشد. علاوه بر این، از پنج روش بهینه طراحی شده در زمینه بهبود اهداف مادون قرمز

شامل انحراف معیار پنجره‌های محلی، α وزن مخلوط نام و $(\sum_i s\mu_i, \sum_i g(\vec{x}_t | s\mu_i))$ بیانگر یک جزء چگالی مخلوط گوسی با میانگین $s\mu_i$ و ماتریس کوواریانس \sum_i است [۳۱]. وزن هر مؤلفه بر اساس احتمال رخداد آن مؤلفه به ازای داده‌های ورودی تعیین می‌شود. همچنین هر جزء چگالی، یکتابع گوسی یک بعدی است که بصورت رابطه زیر تعریف می‌گردد:

$$g(\vec{x}_t | s\mu_i, \Sigma_i) = \frac{1}{(2\pi)^{1/2} |\Sigma_i|^{1/2}} \exp \left\{ -\frac{1}{2} (\vec{x}_t - s\mu_i)^T \Sigma_i^{-1} (\vec{x}_t - s\mu_i) \right\} \quad (10)$$

مرحله سوم: ذخیره‌سازی پارامترهای مدل گوسی
 $\psi = \{\alpha_i, s\mu_i, \sum_i\}_{i=1}^K$

در این صورت ضربی بهبود α طبق رابطه زیر محاسبه می‌گردد:

$$\alpha = \frac{1}{\max(s\mu_i)} \quad (11)$$

طبق این رابطه، $\max(s\mu_i)$ بیانگر حداقل میانگین تخمین زده شده بین دو خوش می‌باشد، و با توجه به اینکه انحراف معیار پنجره‌های ناحیه هدف بزرگ‌تر از سایر نواحی است، در این صورت $\max(s\mu_i)$ مربوط به میانگین انحراف معیارهای خوش ناحیه هدف می‌باشد. بنابراین می‌توان رابطه (۳) را به صورت زیر اصلاح نمود:

$$LSWE_{i,j} = -\alpha \sum_{j=1}^{N_K} \sum_{i=1}^{M_k} W_{i,j} \cdot P_{i,j}(u, v) \cdot \log_2 P_{i,j}(u, v) \quad (12)$$

در نهایت، تصویر نهایی بهبود یافته طبق رابطه زیر تشکیل خواهد شد.

$$IRE = \alpha \cdot *$$

$$\begin{bmatrix} LSWE(1,1) & LSWE(1,2) & \dots & LSWE(1, M) \\ LSWE(2,1) & LSWE(2,2) & \dots & LSWE(2, M) \\ \dots & \dots & \dots & \vdots \\ LSWE(N, 1) & LSWE(N, 2) & \dots & LSWE(N, M) \end{bmatrix} \quad (13)$$

در شکل (۵) نمونه‌ای از اعمال روش پیشنهادی بر روی یک تصویر مادون قرمز مشتمل از هدف کوچک، قبل و بعد از تأثیر ضربی بهبود α نشان داده شده است. با توجه به این شکل و نمای سه‌بعدی آن، مشاهده می‌شود که مقدار انرژی سطح روشنایی در ناحیه مشتمل بر هدف، مقدار بیشتری نسبت به سایر نواحی که شامل نقاط پس‌زمینه هستند را دارا می‌باشد. شکل (۵-الف) تصویر مادون قرمز مشتمل بر هدف کوچکی را نشان می‌دهد که در آن ناحیه هدف با یک مربع به رنگ قرمز مشخص شده است. شکل (۵-ب)، نگاشت حاصل از اعمال آنتربوی وزن دار آماری (رابطه (۳) به شکل (۵-الف) می‌باشد و

می باشد و در ارزیابی کمی، از دو شاخص ارزیابی معمول در بهبود اهداف کوچک یعنی بهره معیار سیگنال به کلاتر^۲ (SCRG) و ضریب تضعیف پس زمینه^۳ (BSF)، استفاده می گردد. در ادامه، و در دو بخش جداگانه به تشریح ارزیابی های کیفی و کمی پرداخته می شود.

۱-۴- ارزیابی کیفی

مقایسه بصری بین نقشه های بهبود یافته هدف در شکل های ۶، ۷ و ۸ نشان داده شده است. قبل ذکر است که در این شکل ها به منظور مشاهده آسانتر، تمامی این نقشه های بهبود یافته در محدوده [۰-۱] مقیاس بندی شده اند.

در شکل (۶)، نتایج بهبود یافته و نمای سه بعدی حاصل از الگوریتم پیشنهادی و روش های معرفی شده دیگر بر روی تصاویر مادون قرمز شامل اهداف هوایی و پس زمینه با کلاتر آسمان، آورده شده است. با توجه به این شکل مشخص است که تقریباً اکثر روش ها توانسته اند تا حد زیادی باعث بهبود اهداف نسبت به ناحیه پس زمینه گردند و کلاترهای سنگین را تضعیف نمایند. در این بین، با توجه به نقشه های بهبود یافته و نمای سه بعدی آنها، روش پیشنهادی این مقاله (LSWE) و روش پیشنهادی LMWIE بهترین عملکرده را داشته اند، که نسبت به روش های دیگر کلاترهای پس زمینه را به طور مطلوبی تضعیف کرده اند و AFODD پیکسل ها هدف را بهبود بخشیده اند. همچنین روش بدترین عملکرده را در بین روش های پیشنهادی دیگر داشته است و در امر تضعیف کلاترهای پس زمینه ضعیفتر عمل نموده است.

شکل (۷) بیانگر نتایج بهبود یافته و نمای سه بعدی حاصل از الگوریتم پیشنهادی و روش های پیشنهادی دیگر بر روی تصاویر مادون قرمز شامل پس زمینه با کلاتر زمین می باشد. همان طور که از این شکل مشخص است، روش پیشنهادی PQFT در مواجهه با تصویر مادون قرمز ستون اول و ستون سوم عملکرد بهتری را نسبت به سایر روش ها داشته است. همچنین روش BMVT نیز بهترین عملکرده را نسبت به تصویر مادون قرمز ستون دوم نسبت به سایر روش ها دارد. در مجموع، با توجه به نقشه های بهبود یافته و نمای سه بعدی آنها، به ترتیب روش های پیشنهادی PQFT، روش پیشنهادی این مقاله (LSWE) و BMVT بهترین عملکرده را داشته اند، که نسبت به روش های دیگر کلاترهای پس زمینه را به طور مطلوبی تضعیف کرده اند و پیکسل های هدف را بهبود بخشیده اند. همچنین روش AFODD بدترین عملکرده را در بین روش های پیشنهادی دیگر داشته است و در امر تضعیف کلاترهای پس زمینه ضعیفتر عمل نموده است.

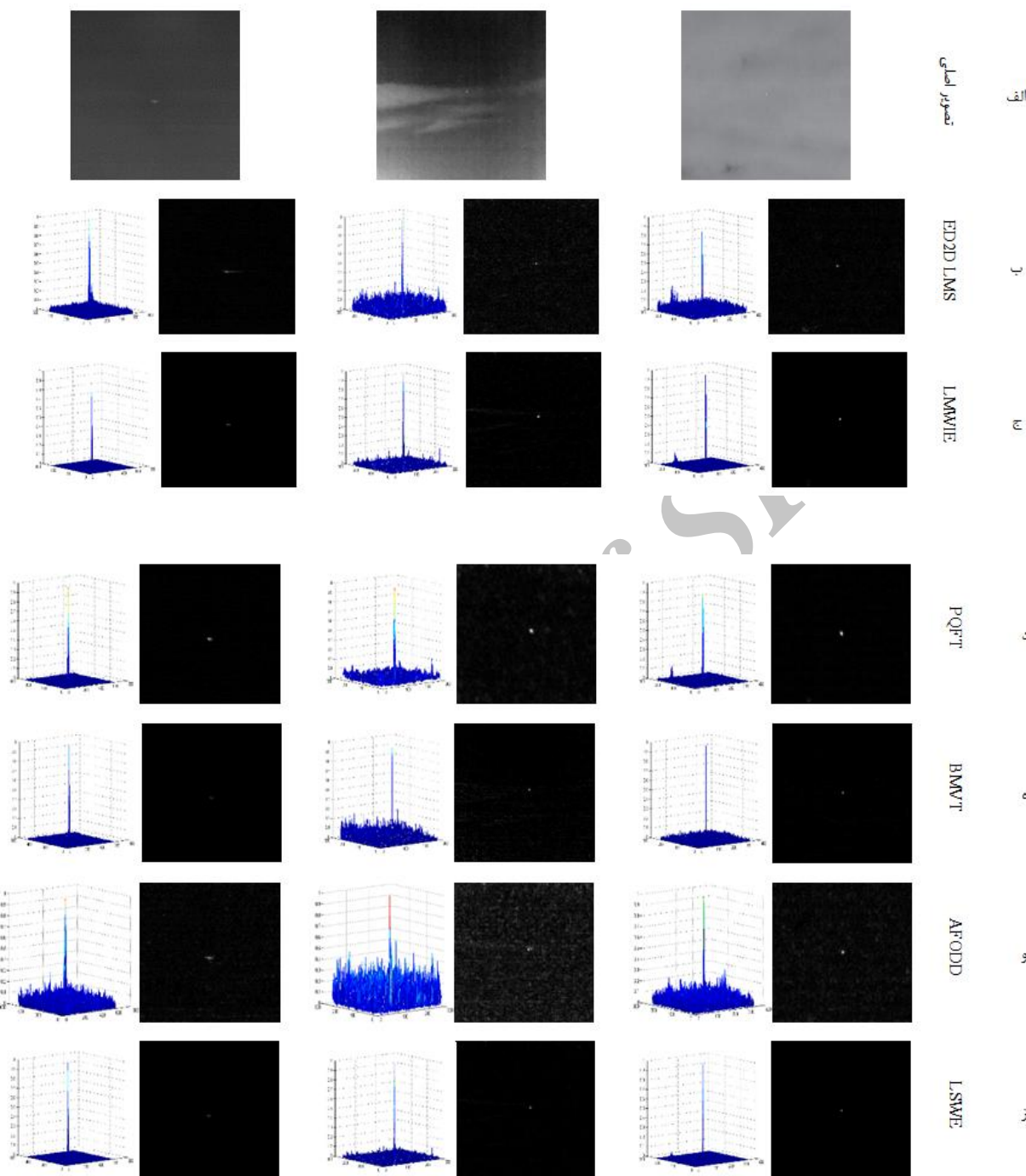
2- Signal-to-Clutter Ratio Gain(SCRG)

3- Background Suppression Factor(BSF)

در طی چند سال اخیر، به منظور ارزیابی کیفی و کمی و مقایسه با روش پیشنهادی در این مقاله استفاده شده است. این روش ها شامل؛ روش فیلتر LMS دو بعدی جهتی لبه (ED2D LMS) [۲۴]، روش ادغام تصاویر مشتق مرتبه اول چند جهتی تحت مدل وجه (AFODD) [۲۳]، روش طیف فاز تبدیل فوریه چهارگانه (PQFT) [۲۲]، روش نظریه بصری نقشه بولی (BMVT) [۲۰]، روش جهش محلی وزن اطلاعات آنتروپی (LMWIE) [۱۵]، می باشند. همچنین، روش پیشنهادی این مقاله به اختصار با عنوان LSWE بیان می شود. لازم به ذکر است که هر یک از این روش ها دارای پارامترهایی جهت تنظیم می باشند. در این مقاله، به منظور دست یابی به بهترین عملکرد، تمامی پارامترهای پنج روش معرفی شده به طور کامل بر طبق الگوریتم موجود در آن مقاله تنظیم شده است. همچنین، برخی از روش های معرفی شده در مقاله، علاوه بر مرحله بهبود هدف، شامل مرحله دیگر از آشکارسازی یعنی استخراج اهداف از تصاویر بهبود یافته نیز می شوند، که با توجه به مقصود این مقاله، مرحله دوم یعنی استخراج اهداف از تصاویر بهبود یافته موجود در این روش ها، در نتایج و شبیه سازی ها در نظر گرفته نشده است.

تنها پارامتر از پیش تعیین شده در روش پیشنهادی، اندازه پنجره های محلی می باشد که با توجه به ویژگی و ابعاد کوچک اهداف در تصاویر مادون قرمز انتخاب می گردد. از این ره، اندازه پنجره ها می باشد که به نحوی تعیین گردد که مناسب برای محلی سازی^۱ بوده و قابلیت تحت پوشش قرار دادن پیکسل های شامل اهداف کوچک را داشته باشد. مطابق با تعریف موسسه SPIE، اهداف کوچک در تصاویر مادون قرمز واقعی دارای ناحیه کوچکی به ابعاد کمتر از ۸۰ پیکسل (۹×۹) می باشند [۳۲]. از آنجائی که ابعاد اهداف از قبل مشخص نیست، ابعاد پنجره ها می باشد تقریباً برابر ابعاد هدف یا کوچکتر از آن باشد. در عین حال اگر ابعاد پنجره ها بزرگتر از اندازه اهداف در نظر گرفته شود، سبب از دست رفتن برخی جزئیات و محو شدن ناحیه هدف شده و ناحیه هدف در مرحله بهبود سازی به عنوان ناحیه پس زمینه در نظر گرفته خواهد شد. این امر باعث بوجود آمدن خطای در شناسایی و ردیابی اهداف می گردد. لذا در روش پیشنهادی، ابعاد پنجره ها ۳×۳ انتخاب شده تا بتوان کوچکترین اهداف را بهبود بخشدید.

به منظور ارزیابی روش های بهبود اهداف در تصاویر مادون قرمز و تضعیف کلاتر و نویز نواحی پس زمینه، می توان از ارزیابی های کمی و کیفی بهره برد. ارزیابی کیفی، بررسی تصویر مادون قرمز بهبود یافته از لحظه دید ناظر (مقایسه بصری)



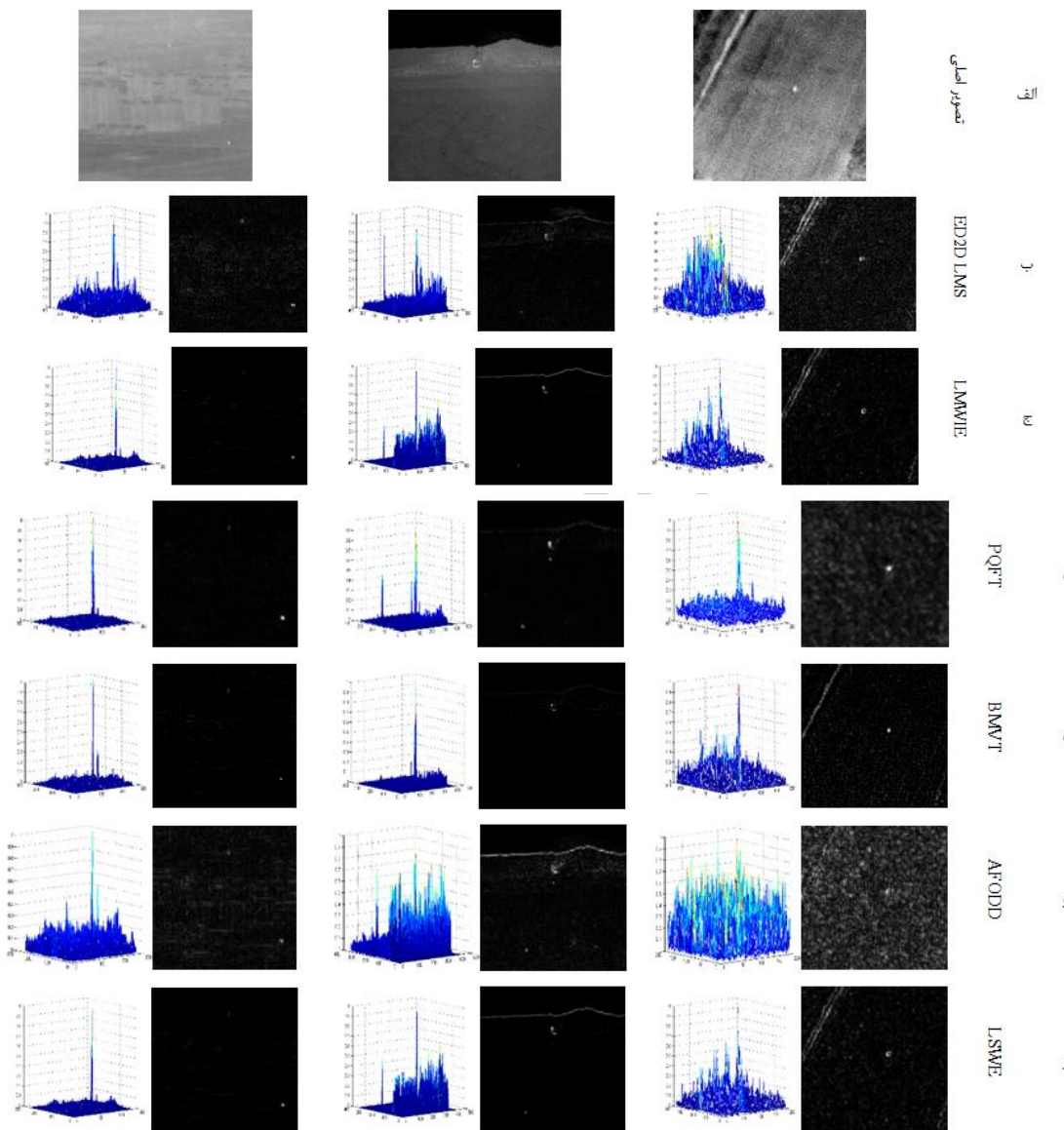
شکل (۶). تصاویر مادون قرمز با پس زمینه های آسمان و نقشه های بهبود یافته حاصل از روش های مختلف. (الف) تصاویر مادون قرمز با پس زمینه آسمان، (ب) نتایج بهبود تصویر با روش ED2D LMS [۲۴]، (ج) نتایج بهبود تصویر با روش LMWIE [۱۵]، (د) نتایج بهبود تصویر با روش PQFT [۲۲]، (ه) نتایج بهبود تصویر با روش BMVT [۲]، (ی) نتایج بهبود تصویر با روش AFODD [۲۳]، (ز) نتایج بهبود تصویر با روش LSWE.

بهترین عملکرد را در تضعیف کلاترهای پس زمینه و بهبود پیکسل های ناحیه هدف داشته اند. همچنین روش AFODD نیز بدترین عملکرد را در بین روش های پیشنهادی دیگر داشته است و در امر تضعیف کلاترهای پس زمینه دریا ضعیفتر عمل نموده است.

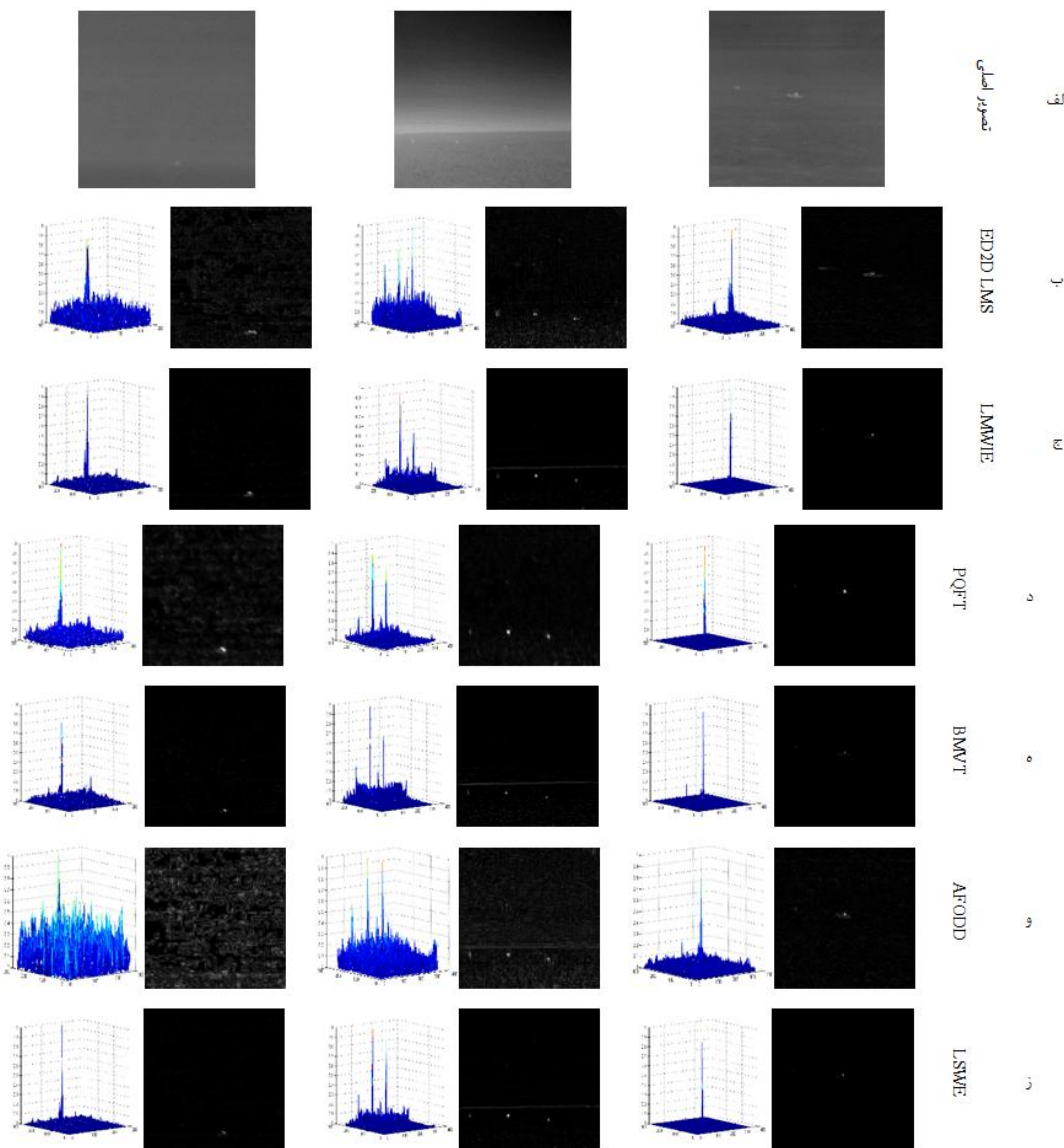
شکل (۸) بیانگر نتایج بهبود یافته و نمای سه بعدی حاصل از الگوریتم پیشنهادی و روش های پیشنهادی دیگر بر روی تصاویر مادون قرمز شامل پس زمینه با کلاتر دریا می باشد. با توجه به این شکل و با توجه به نقشه های بهبود یافته و نمای سه بعدی آنها، روش پیشنهادی این مقاله (LSWE) و روش پیشنهادی BMVT

نواحی پس زمینه بزرگ به رنگ مشکی و پیکسل های ناحیه هدف به رنگ سفید می باشند. به هر حال، در روش پیشنهادی این مقاله، تفاوت ها بین این دو ناحیه کوچکتر از سایر نقشه های بهبود می باشد. بنابراین، در مقایسه با روش های دیگر، LSWE در تصاویر تحت شرایط محیطی گوناگون و حتی برای پس زمینه های با کلاتر زیاد روشی مقاوم است و به واقع برای بهبود اهداف کوچک در تصاویر مادون قرمز مؤثر است.

با توجه به این مشاهدات، می توان این طور بیان نمود که روش پیشنهادی LSWE به خوبی توانسته است سبب تضعیف کلاترهای پس زمینه شده و پیکسل های هدف را بهبود بخشد و در نتیجه باعث افزایش کنترast است بین هدف و پس زمینه گردد. به روشنی مشخص است که کلاترهای پس زمینه در نقشه های LSWE دارای گستردگی کمتری نسبت به سایر نقشه ها می باشند و همچنین دارای واریانس مشخص و آشکاری هستند که در آن،



شکل (۷). تصاویر مادون قرمز با پس زمینه های زمین و نقشه های بهبود یافته حاصل از روش های مختلف. (الف) تصاویر مادون قرمز با پس زمینه آسمان، (ب) نتایج بهبود تصویر با روش ED2D LMS [۲۴]، (ج) نتایج بهبود تصویر با روش LMWIE [۱۵]، (د) نتایج بهبود تصویر با روش PQFT [۲۲]، (ه) نتایج بهبود تصویر با روش BMVT [۲۰]، (و) نتایج بهبود تصویر با روش AFODD [۲۳]، (ز) نتایج بهبود تصویر با روش LSWE



شکل (۸). تصاویر مادون قرمز با پس زمینه های دریا و نقشه های بهبود یافته حاصل از روش های مختلف. (الف) تصاویر مادون قرمز با پس زمینه آسمان، (ب) نتایج بهبود تصویر با روش ED2D LMS [۲۴]، (ج) نتایج بهبود تصویر با روش LMWIE [۱۵]، (د) نتایج بهبود تصویر با روش PQFT [۲۲]، (ه) نتایج بهبود تصویر با روش BMVT [۲۰]، (و) نتایج بهبود تصویر با روش AFODD [۲۳]، (ز) نتایج بهبود تصویر با روش LSWE.

یافته خروجی و تصویر اصلی ورودی می باشند. قابل ذکر است که، بالاتر بودن معیار BSF به معنی تضعیف کلاتر بیشتر در تصویر بهبود یافته نسبت به تصویر اصلی است، همچنین هر چه معیار بهره SCR یک روش بیشتر باشد به معنی کنتراست بیشتر بین هدف و کلاتر می باشد. نتایج معیارهای SCR و BSF روش های پیشنهادی که بر روی تصاویر تست شکل های (۸-۸) اعمال شده اند، در شکل های (۹-۱۰) نشان داده شده است.

هر یک از ستون های موجود در شکل های (۹-۱۰) بیانگر نتایج معیارهای SCR و BSF تصاویر بهبود یافته با پس زمینه های زمین، پس زمینه دریا، پس زمینه آسمان و میانگین نتایج تمامی پس زمینه ها می باشد. با توجه به شکل های (۹-۱۰) مشخص است که نتیجه معیارهای SCR و BSF روش پیشنهادی LSWE

۴-۲- ارزیابی کمی

به منظور ارزیابی کمی از معیارهای متداول ارزیابی بهبود اهداف و تضعیف کلاتر در تصاویر مادون قرمز یعنی بهره SCR و BSF استفاده می شود. روابط زیر بیانگر تعاریف این دو معیار می باشند [۳۳]:

$$SCRG = \frac{(s/c)_{out}}{(s/c)_{in}} \quad (14)$$

$$BSF = \frac{c_{in}}{c_{out}} \quad (15)$$

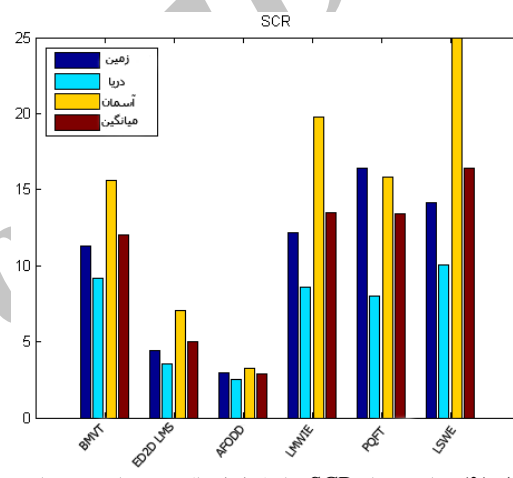
با توجه به این روابط، S دامنه سیگنال، و C انحراف معیار کلاتر، و زیرنویس های out و in به ترتیب بیانگر تصویر بهبود

وزن دار آماری مطابق با این واقعیت بوده است که تغییرات ناگهانی در مقادیر آماری و تناوب پیکسل‌های ناحیه شامل اهداف کوچک، باعث تغییرات عمدۀای در مقدار آنتروپی وزن دار آماری در پنجره‌های محلی تصویر مادون قرمز می‌گردد. از این‌رو، آنتروپی وزن دار آماری می‌تواند تفکیک‌کننده مناسبی برای پیکسل‌های ناحیه شامل اهداف کوچک و پس‌زمینه باشد و عملیات بهبود اهداف و تضعیف کلاترهای پس‌زمینه را به خوبی انجام دهد. در ابتدا، آنتروپی وزن دار آماری هر پنجره محلی منتظر با هر پیکسل از تصویر ورودی محاسبه می‌شود. وزن آماری توسط ترکیب مقادیر شدت روشنایی، میانگین و انحراف معیار پیکسل‌های درون هر پنجره محاسبه می‌شود. در پایان این مرحله، کلاترهای پس‌زمینه تا حد زیادی تضعیف می‌شوند و پیکسل‌های شامل اهداف کوچک بهبود می‌یابند. در نهایت، از یک ضریب بهبود خودکار که توسط خوشبندی مقادیر انحراف معیار حاصل می‌شود، به منظور بر جسته‌تر شدن اهداف و ایجاد کنتراست بیشتر بین ناحیه هدف و کلاترهای پس‌زمینه، استفاده می‌شود. بررسی نتایج آزمایشات و ارزیابی‌های کیفی و کمی نشان از کاربرد گسترده روش پیشنهادی این مقاله برای انواع پس‌زمینه‌ها با کلاتر سنگین همچون؛ آسمان، دریا و زمین می‌باشد و بیانگر عملکرد خوب این روش در مقایسه با سایر روش‌ها در جنبه‌های مختلفی از جمله؛ بهبود اهداف کوچک، تضعیف کلاترهای پس‌زمینه، افزایش دقیقت آشکارسازی و کاهش نرخ هشدار کاذب و مقاوم بودن در برابر پس‌زمینه‌های مختلف است.

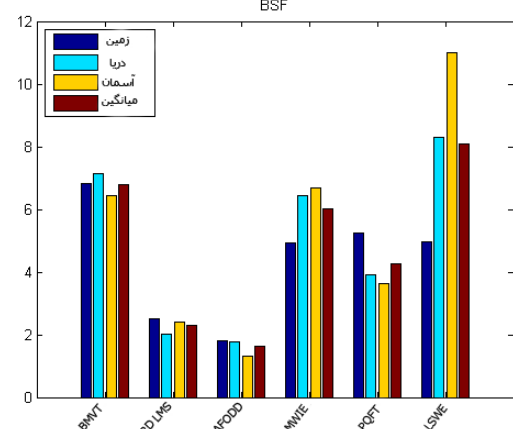
۶- مراجع

- [1] W. Meng, T. Jin, and X. Zhao, "Adaptive method of dim small object detection with heavy clutter," Optical Society of America, pp. 64–74, 2013.
- [2] Y.-X. Dong, Y. Li, and H.-B. Zhang, "Research on infrared dim-point target detection and tracking under sea-sky-line complex background," International Symposium on Photoelectronic Detection and Imaging, 2011.
- [3] R. Lai, Y.-T. Yang, B.-J. Wang, and H.-X. Zhou, "A quantitative measure based infrared image enhancement algorithm using plateau histogram," Optics Communications, pp. 4283–4288, 2010.
- [4] K. Liang, Y. Ma, Y. Xie, B. Zhou, and R. Wang, "A new adaptive contrast enhancement algorithm for infrared images based on double plateaus histogram equalization," Infrared Physics & Technology, vol. 55, pp. 309–315, 2012.
- [5] X. Bai and F. Zhou, "Infrared small target

در تمامی پس‌زمینه‌ها و در مجموع میانگین آنها، بهتر از سایر روش‌های پیشنهادی می‌باشد و دارای عملکرد بهتری در تقویت سیگنال‌های هدف و تضعیف کلاترهای پس‌زمینه است. در این بین، تنها در پس‌زمینه زمین است که نتیجه معیارهای SCR و BSF روش پیشنهادی کمتر از روش PQFT است. این بدان معنی است که روش PQFT عملکرد بهتری را در پس‌زمینه زمین دارد می‌باشد. ولی از آنجائی که میانگین نتایج معیارهای SCR و BSF روش پیشنهادی در تمامی پس‌زمینه‌ها دارای مقدار بیشتری نسبت به سایر روش‌ها می‌باشد، لذا این طور می‌توان عنوان نمود که روش پیشنهادی این مقاله دارای قابلیت تطبیق‌پذیری بیشتری نسبت به سایر روش‌ها بوده و دارای نرخ بهبود بهتری است.



شکل (۹). نتایج معیار SCR حاصل از اعمال روش‌های پیشنهادی بر روی تصاویر واقعی اشکال ۶ تا ۸



شکل (۱۰). نتایج معیار BSF حاصل از اعمال روش‌های پیشنهادی بر روی تصاویر واقعی اشکال ۶ تا ۸

۵- نتیجه‌گیری

در این مقاله، روش جدیدی جهت بهبود اهداف کوچک و تضعیف کلاترهای پس‌زمینه در تصاویر مادون قرمز بر مبنای آنتروپی وزن دار آماری، پیشنهاد شد. طراحی الگوریتم آنتروپی

- [16] H. Deng and J. Liu, "Infrared small target detection based on the self-information map," *Infrared Physics & Technology*, vol. 54, pp. 100–107, 2011.
- [17] C. Yang, J. Ma, M. Zhang, S. Zheng, and X. Tian, "Multiscale facet model for infrared small target detection," *Infrared Physics & Technology*, vol. 67, pp. 202–209, 2014.
- [18] X. Shao, H. Fan, G. Lu, and J. Xu, "An improved infrared dim and small target detection algorithm based on the contrast mechanism of human visual system," *Infrared Physics & Technology*, vol. 55, pp. 403–408, 2012.
- [19] X. Sun, W. Hou, Q. Yu, X. Liu, and Y. Shang, "Small infrared target detection using frequency-spatial cues in a single image," *Journal of Electronic Imaging*, vol. 23, no. 4, pp. 043003-1-043003-10, 2014.
- [20] S. Qi, D. Ming, J. Ma, X. Sun, and J. Tian, "Robust method for infrared small-target detection based on Boolean map visual theory," *Optical Society of America*, vol. 53, no. 18, pp. 3929-3940, 2014.
- [21] X. Bai, "Morphological infrared image enhancement based on multi-scale sequential toggle operator using opening and closing as primitives," *Infrared Physics & Technology*, vol. 68, pp. 143–151, 2015.
- [22] S. Qi, J. Ma, H. Li, S. Zhang, and J. Tian, "Infrared small target enhancement via phase spectrum of quaternion Fourier transform," *Infrared Phys. Technol.*, vol. 62, pp. 50–58, 2014.
- [23] B. Zhu and Y. Xin, "Effective and robust infrared small target detection with the fusion of polydirectional first order derivative images under facet model," *Infrared Physics & Technology*, vol. 69, pp. 136–144, 2015.
- [24] T. Bae, F. Zhang, and I. Kweon, "Edge directional 2D LMS filter for infrared small target detection," *Infrared Phys. Technol.*, vol. 55, no. 1, pp. 137–145, 2012.
- [25] L. Yang, Y. Zhou, J. Yang, and L. Chen, "Variance WIE based infrared images processing," *Electronics Letters*, vol. 42, no. 15, pp. 857-859, 2006.
- [26] F. Zhang, C. Li, and L. Shi, "Detecting and tracking dim moving point target in IR image sequence," *Infrared Phys. Technol.*, vol. 46, pp. 323–328, 2005.
- [6] Z. Chaofu, M. Li-ni, and J. Lu-na, "Mixed Frequency domain and spatial of enhancement algorithm for infrared image," in *International Conference on Fuzzy Systems and Knowledge Discovery*, 2012.
- [7] M. Tang, S. Ma, and J. Xiao, "Model-based adaptive enhancement of far infrared image sequences," *Pattern Recognition*, vol. 21, pp. 827–835, 2000.
- [8] R. Zheng, J. Hong, and Q. Liao, "Study of Infrared Image Enhancement Algorithm in Front End," in *Advances in Computer Science, Environment, Ecoinformatics, and Education*, Springer Berlin Heidelberg, pp. 416-422, 2011.
- [9] C. Cafer, J. Silverman, and J. Mooney, "Optimization of point target tracking filters," *IEEE Trans Aerospace Electronic System*, vol. 36, no. 1, pp. 15–25, 2000.
- [10] S. Deshpande, H. E. Meng , V. Ronda, and P. Chan, "Max-mean and max-median filters for detection of small targets," *Proc. SPIE*, vol. 3809, pp. 74-83, 1999.
- [11] S. Leonov, "Nonparametric method for clutter removal," *IEEE Trans Aerospace & Electronic Systems Society*, vol. 37, no. 3, pp. 832 - 848, 2001.
- [12] Y. Gu , C. Wang, B. Liu, and Y. Zhang, "A Kernel-Based Nonparametric Regression Method for Clutter Removal in Infrared Small-Target Detection Applications," *IEEE Geoscience And Remote Sensing Letters*, vol. 7, no. 3, pp. 469 - 473, 2010.
- [13] T.-W. Bae, "Spatial and temporal bilateral filter for infrared small target enhancement," *Infrared Physics & Technology*, vol. 63, pp. 42-53, 2014.
- [14] H. Deng, J. Liu, and Z. Chen, "Infrared small target detection based on modified local entropy and EMD," *Chinese Optics Letters*, vol. 8, no. 1, pp. 24–28, 2010.
- [15] X. Qu, H. Chen, and G. Peng, "Novel detection method for infrared small targets using weighted information entropy," *Journal of Systems Engineering and Electronics*, vol. 23, no. 6, pp. 838–842, 2012.

- [31] S. Fine, J. Navratil, and R. Gopinath, "A Hybrid GMM/SVM Approach to Speaker Identification," ICASSP, 2001.
- [32] W. Zhang, M. Cong, and L. Wang, "Algorithms for optical weak small targets detection and tracking: review," in Neural Networks and Signal Processing, Nanjing, 2003.
- [33] C. Hilliard, "Selection of a clutter rejection algorithm for real-time target detection from an airborne platform," in Proc. SPIE 4048, Signal and Data Processing of Small Targets, 2000.
- [27] X. Bai, S. Zhang, B. Du, Z. Liu, T. Jin, B. Xue, and F. Zhou, "Survey on dim small target detection in clutter background: wavelet, inter-frame and filter based," Procedia Engineering, vol. 15, pp. 479 – 483, 2011.
- [28] Z. Cao, Y. Ge, and F. Feng, "Fast target detection method for high-resolution SAR images based on variance weighted information entropy," Advances in Signal Processing, 2014.
- [29] M. Varma and A. Zisserman, "Texture classification: are filter banks necessary?," in IEEE Conference on Computer Vision and Pattern Recognition, 2003.
- [30] S. Mirmahdavi, A. Ahmadyfard, A. Shahraki, and P. Khojasteh, "A Novel Modeling of Random Textures Using Fourier Transform for Defect Detection," in Computer Modelling and Simulation, Cambridge, 2013.

Archive of SID

Small Target Enhancement in Infrared Image using Local Statistical Weighted Entropy

M. Nasiri*, S. Chehrehsa, S. A. Mirmahdavi

*Imam Hossein University

(Received: 10/01/2015, Accepted: 03/05/2016)

ABSTRACT

Small targets Enhancement in infrared images are one of the most important issues in the target search and tracking systems. Target enhancement algorithms Provide more accurate differentiation between the background and target areas in Infrared Images. In this paper, a new method of statistical weighted entropy has been suggested to suppress background clutters and increasing the contrast between target and clutter background. Local entropy is the best ways to express image intensity specifications. As a result, statistically weighted entropy is designed in accordance with the fact that, existence of small target areas cause the major changes in statistically weighted entropy value in local window of infrared image and target areas and background can be easily separated from each other. In first stage, the local Statistical weighted entropy corresponding to each pixel is calculated. At the end of this stage, background clutters are greatly suppressed and target areas are enhanced. In the next step, an automatic enhancement coefficient is used to highlight the targets and create higher contrast between the target area and background clutters. In order to qualitatively and quantitatively evaluation, the proposed algorithm was tested on a set of infrared images with 30 different background complex clutters. The results show that the proposed method can well suppress background clutter, whereas enhance the target area and increase the possibility of detecting and tracking targets.

Keywords: Infrared Image, Target Enhancement, Clutter Suppression, Entropy, Detector System

* Corresponding Author Email: mnasiri@ihu.ac.ir